



# **Clientseitiges Deep Learning durch Klassifizierung von deutschsprachigen Clickbaits**

Ugur Tigu

Master-Thesis

zur Erlangung des akademischen Grades Master of Science (M.Sc.)

Studiengang Wirtschaftsinformatik

Fakultät IV - Institut für Wissensbasierte Systeme und  
Wissensmanagement

Universität Siegen

23. Dezember 2020

Betreuer

Prof. Dr.-Ing. Madjid Fathi, Universität Siegen

Johannes Zenkert, Universität Siegen

**Tigu, Ugur:**

Clientseitiges Deep Learning durch Klassifizierung von deutschsprachigen Clickbaits / Ugur Tigu. –

Master-Thesis, Aachen: Universität Siegen, 2020. 37 Seiten.

**Tigu, Ugur:**

Client-side deep learning through classification of German clickbaits / Ugur Tigu. –

Master Thesis, Aachen: University of Siegen, 2020. 37 pages.

## **Erklärung**

Hiermit erkläre ich, dass ich die vorliegende Arbeit selbstständig verfasst und keine anderen als die angegebenen Quellen und Hilfsmittel benutzt habe.

Ich bin damit einverstanden, dass meine Arbeit veröffentlicht wird, d. h. dass die Arbeit elektronisch gespeichert, in andere Formate konvertiert, auf den Servern der Universität Siegen öffentlich zugänglich gemacht und über das Internet verbreitet werden darf.

Aachen, 23. Dezember 2020

Ugur Tigu



# Abstract

## ***Clientseitiges Deep Learning durch Klassifizierung von deutschsprachigen Clickbaits***

Ein im Internet weit verbreitetes Phänomen sind *Clickbaits-Nachrichten* (auf deutsch „Klickköder“). Ziel dieser Arbeit ist die Entwicklung eines Deep Learning Verfahrens, welches deutsche Clickbait Nachrichten automatisch erkennen soll. Die Arbeit stellt einen Datensatz vor, welches aus zwei Klassen von Nachrichten Überschriften besteht und zum trainieren eines Deep Learning Ansatzes verwendet wird. Dieser Datensatz wird durch Web Scraping erstellt und gelabelt. Das Ergebnis dieser Arbeit ist ein Modell für die Textklassifizierung, entwickelt in TensorFlow.js. Dieses Modell wird vollständig clientseitig in den Browser eingebettet und benötigt somit keinen Server.

## ***Client-side deep learning through classification of German clickbaits***

A widespread phenomenon on the Internet are clickbaits. The aim of this thesis is the development of a deep learning model which should automatically recognize German clickbait titles. The thesis presents a data set, which consists of two classes of news headlines and is used to train a deep learning approach. This data set is created using web scraping and hand-labeled. The result of this work is a model for text classification, developed in TensorFlow.js. This model is completely embedded in the browser on the client side and therefore does not require a server.



# Inhaltsverzeichnis

<b>1</b>	<b>Einleitung</b>	<b>1</b>
<b>2</b>	<b>Deep Learning</b>	<b>3</b>
2.1	Einleitung . . . . .	3
2.2	Das Perzeptron . . . . .	4
2.3	Bias . . . . .	5
2.4	Mehrschichtiges Perzeptron . . . . .	5
2.5	Sigmoid-Neuron . . . . .	7
2.6	Aktivierungsfunktionen . . . . .	7
2.6.1	Sigmoid . . . . .	8
2.6.2	Tanh . . . . .	9
2.6.3	ReLu . . . . .	9
2.6.4	softmax . . . . .	10
2.7	Optimierungsalgorithmen . . . . .	11
2.7.1	Batch Gradientenabstiegsverfahren . . . . .	12
2.7.2	Stochastische Gradientenabstiegsverfahren . . . . .	12
2.8	Lernrate im Deep Learning . . . . .	13
2.9	Unteranpassung und Überanpassung . . . . .	14
2.10	Regularisierung . . . . .	15
2.10.1	Early Stopping . . . . .	15
2.10.2	Dropout . . . . .	16
2.10.3	L1 und L2 . . . . .	17
2.11	Verlustfunktion und Kreuzentropie . . . . .	17
2.11.1	Verlustfunktionen . . . . .	17
2.11.2	Kreuzentropie . . . . .	18
2.12	Convolutional Neural Network . . . . .	20
2.12.1	Architektur . . . . .	21
2.12.2	Convolutional Layer . . . . .	22
2.12.3	Pooling Layer . . . . .	23
2.12.4	Vollständig verbundene Ebenen . . . . .	24
2.12.5	CNN in der Textverarbeitung . . . . .	24
<b>3</b>	<b>Die Natürliche Sprache</b>	<b>27</b>
3.1	Textverarbeitung und Textnormalisierung . . . . .	27

3.2	One-Hot-Codierung . . . . .	27
3.3	Wortembeddings . . . . .	29
3.3.1	Word2Vec mit der Skip-Gram Architektur . . . . .	30
<b>4</b>	<b>Verwandte Arbeiten</b>	<b>35</b>
4.1	Einleitung . . . . .	35
4.2	Analyse der Literatur . . . . .	35
4.3	Schluss . . . . .	37
	<b>Abkürzungsverzeichnis</b>	<b>vii</b>
	<b>Tabellenverzeichnis</b>	<b>ix</b>
	<b>Abbildungsverzeichnis</b>	<b>xi</b>
	<b>Quellcodeverzeichnis</b>	<b>xiii</b>
	<b>Literatur</b>	<b>xv</b>



## **Kapitel 1**

### **Einleitung**



## Kapitel 2

# Deep Learning

### 2.1 Einleitung

Künstliche neuronale Netze stellen eine Klasse von Modellen des maschinellen Lernens dar, die vom Zentralnervensystem von Säugetieren inspiriert sind. Jedes Netz besteht aus mehreren miteinander verbundenen „Neuronen“, die in „Schichten“ organisiert sind. Neuronen in einer Schicht leiten Nachrichten an Neuronen in der nächsten Schicht weiter (sie „feuern“ im Jargon). Erste Studien wurden in den frühen 50er Jahren mit der Einführung des „Perzeptrons“ [1] begonnen, eines zweischichtigen Netzwerks, das für einfache Operationen verwendet wird, und in den späten 60er Jahren mit der Einführung des „Back-Propagation-Algorithmus“ (effizientes mehrschichtiges Netzwerktraining) (gemäß [2], [3]) weiter ausgebaut. Einige Studien argumentieren, dass diese Techniken Wurzeln haben, die weiter zurückreichen als normalerweise zitiert [4].

Neuronale Netze waren bis in die 80er Jahre ein Thema intensiver akademischer Studien. Zu diesem Zeitpunkt wurden andere, einfachere Ansätze relevanter. Ab Mitte der 2000er Jahre ist das Interesse jedoch wieder gestiegen, hauptsächlich aufgrund von drei Faktoren: einem von G. Hinton [3], [5] vorgeschlagenen bahnbrechenden Algorithmus für schnelles Lernen, die Einführung von GPUs um 2011 (für massive numerische Berechnungen) und die Verfügbarkeit großer Datenmengen.

Diese Verbesserungen eröffneten den Weg für modernes „Deep Learning“, eine Klasse neuronaler Netze, die durch eine erhebliche Anzahl von Neuronenschichten gekennzeichnet ist, die in der Lage sind, auf der Grundlage progressiver Abstraktionsebenen komplexe Modelle zu erlernen. Sie werden als „tief“ bezeichnet, als es

vor einigen Jahren damit begonnen wurde, 3-5 Schichten zu verwenden. Jetzt sind Netzwerke mit mehr als 200 Schichten vorstellbar.

Das Lernen durch progressive Abstraktion ähnelt Visionsmodellen, die sich über Millionen von Jahren im menschlichen Gehirn entwickelt haben. In der Tat ist das menschliche visuelle System in verschiedene Schichten unterteilt. Erstens sind unsere Augen mit einem Bereich des Gehirns verbunden, der als visueller Kortex (V1) bezeichnet wird und sich im unteren hinteren Teil unseres Gehirns befindet. Dieser Bereich ist vielen Säugetieren gemeinsam und hat die Aufgabe, grundlegende Eigenschaften wie kleine Änderungen der visuellen Ausrichtung, der räumlichen Frequenzen und der Farben zu unterscheiden.

Es wird geschätzt, dass V1 aus etwa 140 Millionen Neuronen besteht, zwischen denen zig Milliarden Verbindungen bestehen. V1 wird dann mit anderen Bereichen (V2, V3, V4, V5 und V6) verbunden, wobei die Bildverarbeitung zunehmend komplexer wird und komplexere Konzepte wie Formen, Gesichter, Tiere und vieles mehr erkannt werden. Es wird geschätzt, dass es 16 Milliarden menschliche kortikale Neuronen gibt und etwa 10-25% des menschlichen Kortexes dem Sehen gewidmet sind [6]. Deep Learning hat sich von dieser schichtbasierten Organisation des menschlichen visuellen Systems inspirieren lassen: Höhere künstliche Neuronenschichten lernen grundlegende Eigenschaften von Objekten, während tiefere Schichten komplexere Konzepte dieser Objekte lernen.

### 2.2 Das Perzeptron

Das Perzeptron kann ins deutsche mit dem Begriff der „Wahrnehmung“ übersetzt werden. Das Perzeptron ist ein einfacher Algorithmus mit einem Eingabevektor  $x$  mit  $m$  Werten  $(x_1, \dots, x_m)$ . Es wird oft als „Eingabe-Features“ oder einfach als „Features“ bezeichnet und zurückgegeben wird entweder eine 1 „Ja“ oder eine 0 „Nein“ (siehe Formel 2.1).

In Formel 2.1 ist  $w$  ein Vektor welches das Gewicht darstellt, und  $wx$  das Punktprodukt aus  $\sum_{j=1}^m w_j x_j$ ,  $b$  ist der Bias. Aus  $wx + b$  ist die Grenzhyperebene definiert, die die Position gemäß den  $w$  und  $b$  zugewiesenen Werten ändert.

$$fx = \begin{cases} 1 & wx + b > 0 \\ 0 & \text{ansonsten} \end{cases} \quad (2.1)$$

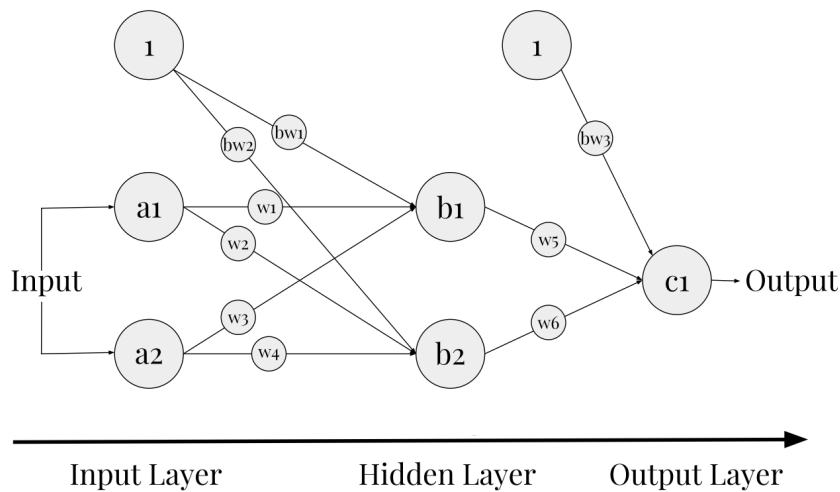
Mit anderen Worten, ist dies ein sehr einfacher, aber effektiver Algorithmus. Beispielsweise kann das Perzeptron bei drei Eingabemerkmale (Rot, Grün und Blau) unterscheiden, ob die Farbe weiß ist oder nicht. Es soll beachtet werden, dass das Perzeptron keine „Vielleicht“-Antwort ausdrücken kann. Es kann mit „Ja“ (1) oder „Nein“ (0) antworten. Das Perzeptron-Modell kann also benutzt werden, indem durch Anpassung von  $w$  und  $b$ , das Modell „trainiert“ wird.

## 2.3 Bias

Der Bias kann als Maß dafür vorgestellt werden, wie einfach es ist, das Perzeptron dazu zu bringen, um eine 1 auszugeben. Um es biologischer auszudrücken, ist der Bias ein Maß dafür, wie einfach es ist, das Perzeptron zum Feuern zu bringen. Für ein Perzeptron mit einem wirklich großen Bias ist es für das Perzeptron extrem einfach, eine 1 auszugeben. Wenn der Bias jedoch sehr negativ ist, ist es für das Perzeptron schwierig, eine 1 auszugeben [7, S. 7].

## 2.4 Mehrschichtiges Perzeptron

In der Vergangenheit war „Perzeptron“ der Name eines Modells mit einer einzigen linearen Schicht. Wenn es mehrere Schichten hat, wurde es daher als mehrschichtiges Perzeptron (Multi-layer perceptron / MLP) bezeichnet. Die Eingabe- und Ausgabebene ist von außen sichtbar, während alle anderen Ebenen in der Mitte ausgeblendet sind - daher der Name ausgeblendete Ebenen (hidden layers). In diesem Zusammenhang ist eine einzelne Schicht einfach eine lineare Funktion, und der MLP wird daher erhalten, indem mehrere einzelne Schichten nacheinander gestapelt werden (siehe Abbildung 2.1).



**Abbildung 2.1:** Ein Beispiel für ein mehrschichtiges Perzeptron in Anlehnung an [8]: Jeder Knoten in der ersten verborgenen Schicht empfängt eine Eingabe und „feuert“ eine 0 oder 1 gemäß den Werten der zugehörigen linearen Funktion. Dann wird die Ausgabe der ersten verborgenen Schicht an die zweite Schicht übergeben, wo eine andere lineare Funktion angewendet wird, deren Ergebnisse an die endgültige Ausgabeschicht übergeben werden. Die letzte Schicht besteht nur aus einem einzelnen Neuron. Es ist interessant festzustellen, dass diese geschichtete Organisation vage der Organisation des menschlichen Sichtsystems ähnelt, wie zuvor besprochen.

Was sind die besten Entscheidungen für das Gewicht  $w$  und den Bias  $b$ ? Um diese Frage zu beantworten, wird nur ein einzelnes Neuron (ein einzelner Knoten) betrachtet.

Im Idealfall werden eine Reihe von Trainingsbeispielen bereitgestellt und der Computer muss das Gewicht  $w$  und den Bias  $b$  so einstellen, dass die in der Ausgabe erzeugten Fehler minimiert werden.

Um dies etwas konkreter zu machen, wird angenommen, dass es eine Reihe von Katzenbildern vorhanden sind und eine weitere separate Reihe von Bildern, die keine Katzen enthalten. Angenommen, jedes Neuron empfängt Eingaben vom Wert eines einzelnen Pixels in den Bildern. Während der Computer diese Bilder verarbeitet, möchten wir, dass unser Neuron seine Gewichte und seine Vorspannung so anpasst, dass immer weniger Bilder falsch erkannt werden. Dieser Ansatz scheint sehr intuitiv zu sein, erfordert jedoch eine kleine Änderung der Gewichte (oder des Bias), um nur eine kleine Änderung der Ausgänge zu bewirken. Wenn wir einen großen Leistungssprung haben, können wir nicht progressiv lernen. Es wird gewünscht, wie ein „Kind“ zu lernen, nach und nach. Das Perzeptron zeigt jedoch

dieses „Stück für Stück“-Verhalten nicht. Ein Perzeptron gibt entweder eine 0 oder eine 1 zurück und das ist ein großer Sprung, der beim Lernen nicht hilft.

## 2.5 Sigmoid-Neuron

Das Verhalten des Perzeptron ist sehr „uneben“, sodass ein „glatteres“ nötig ist. Wir brauchen eine Funktion, die sich ohne Diskontinuität schrittweise von 0 auf 1 ändert. Mathematisch bedeutet dies, dass wir eine stetige Funktion benötigen, mit der wir die Ableitung berechnen können.

Dieses Problem kann überwunden werden, indem einen neuer Typ eines künstlichen Neurons eingeführt wird, der als Sigmoid-Neuron. Sigmoidneuronen ähneln Perzeptronen, sind jedoch so modifiziert, dass kleine Änderungen ihres Gewichts und ihres Bias nur eine geringe Änderung ihrer Leistung bewirken. Dies ist die entscheidende Tatsache, die es einem Netzwerk von Sigmoidneuronen ermöglicht, zu lernen [7, S. 8].

Genau wie ein Perzeptron hat das Sigmoid-Neuron die Eingaben  $x_1, x_2, \dots$ , aber anstatt nur 0 oder 1 zu sein, können diese Eingänge auch beliebige Werte zwischen 0 und 1 annehmen. Also zum Beispiel 0,123 welches eine gültige Eingabe für ein Sigmoid-Neuron ist. Ebenso wie ein Perzeptron hat das Sigmoid-Neuron Gewichte für jede Eingabe,  $w_1, w_2, \dots$  und einen Bias,  $b$ . Die Ausgabe ist jedoch nicht 0 oder 1, stattdessen ist es  $\sigma, (wx + b)$ , wobei  $\sigma$  als Sigmoidfunktion bezeichnet wird und durch Formel 2.2 definiert ist.

$$\sigma(z) = \frac{1}{1 + e^{-z}} \quad (2.2)$$

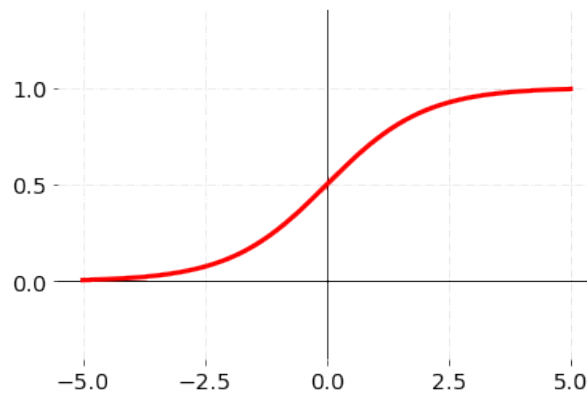
## 2.6 Aktivierungsfunktionen

Ohne eine Aktivierungsfunktion (auch als Nichtlinearität bezeichnet) würde die dichte Schicht (dense layer) nuraus zwei linearen Operationen bestehen - einem Punktprodukt und einer Addition:  $Ausgabe = Punkt(w, Eingabe) + b$ . Die Schicht konnte also nur lineare Transformationen (affine Transformationen) der Eingabedaten lernen. Um Zugang zu einem viel umfangreicheren Hypothesenraum zu erhalten, wird eine Nichtlinearitäts- oder Aktivierungsfunktion benötigt [9, S. 72]. Es

gibt weitaus mehr Aktivierungsfunktionen, als die in diesem Abschnitt beschrieben. Es sollen hier nur die gängigsten 3 vorgestellt werden.

### 2.6.1 Sigmoid

Die Sigmoidfunktion wurde bereits mit der Formel 2.2 definiert und in der Abbildung 2.2 dargestellt, die Ableitung der Sigmoidfunktion ist in der Formel 2.3. Sie hat kleine Ausgangsänderungen im Bereich  $(0, 1)$ , wenn der Eingang im Bereich  $(-\infty, \infty)$  variiert. Mathematisch ist die Funktion stetig. Ein Neuron kann das Sigmoid zur Berechnung der nichtlinearen Funktion  $\sigma(z = wx + b)$  verwenden. Wenn  $z = wx + b$  sehr groß und positiv ist, dann wird  $e^z \rightarrow 0$  also  $\sigma(z) \rightarrow 1$ , während wenn  $z = wx + b$  sehr groß und negativ ist dann wird  $e^{-z} \rightarrow 0$  also  $\sigma(z) \rightarrow 0$ . Mit anderen Worten, ein Neuron mit Sigmoidaktivierung hat ein ähnliches Verhalten wie das Perzeptron, aber die Änderungen sind allmählich und Ausgabewerte wie 0,54321 oder 0,12345 sind vollkommen legitim. In diesem Sinne kann ein Sigmoid-Neuron „vielleicht“ antworten [10, S. 10].



**Abbildung 2.2:** Darstellung der Sigmoid-Aktivierungsfunktion (eigene Darstellung)

$$\begin{aligned}
 \sigma'(z) &= \frac{d}{dz} \left( \frac{1}{1+e^{-z}} \right) = \frac{1}{(1+e^{-z})^2} \frac{d}{dz} = (e^{-z}) = \frac{e^{-z}}{(1+e^{-z})} \frac{1}{(1+e^{-z})} = \\
 &= \frac{e^{-z} + 1 - 1}{(1+e^{-z})} \frac{1}{(1+e^{-z})} = \left( \frac{(1+e^{-z})}{(1+e^{-z})} - \frac{1}{(1+e^{-z})} \right) \frac{1}{(1+e^{-z})} = \\
 &= \left( 1 - \frac{1}{(1+e^{-z})} \right) \left( \frac{1}{(1+e^{-z})} \right) = (1 - \sigma(z))\sigma(z)
 \end{aligned} \tag{2.3}$$



### 2.6.2 Tanh

Die Tanh-Aktivierungsfunktion wird mit der Formel 2.4 definiert. Sie hat ihre Ausgangsänderungen im Bereich  $(-1, 1)$ . Sie hat eine Struktur, die der Sigmoid-Funktion sehr ähnlich ist. Der Vorteil gegenüber der Sigmoidfunktion besteht darin, dass ihre Ableitung steiler ist, was bedeutet, dass sie mehr Wert erhalten kann (vergleiche Abbildung 2.3). Für die Ableitung der Tanh-Aktivierungsfunktion gilt,  $e^z = \frac{d}{dz}e^z$  und  $e^{-z} = \frac{d}{dz}e^{-z}$ , somit ist die Ableitung dieser Funktion in der Formel 2.5 angegeben.

$$\tanh(z) = \frac{e^z - e^{-z}}{e^z + e^{-z}} \quad (2.4)$$

$$\begin{aligned} \frac{d}{dz}\tanh(x) &= \frac{(e^z + e^{-z})(e^z + e^{-z}) - (e^z - e^{-z})(e^z - e^{-z})}{(e^z + e^{-z})^2} = \\ &= 1 - \frac{(e^z - e^{-z})^2}{(e^z + e^{-z})^2} = 1 - \tanh^2(z) \end{aligned} \quad (2.5)$$

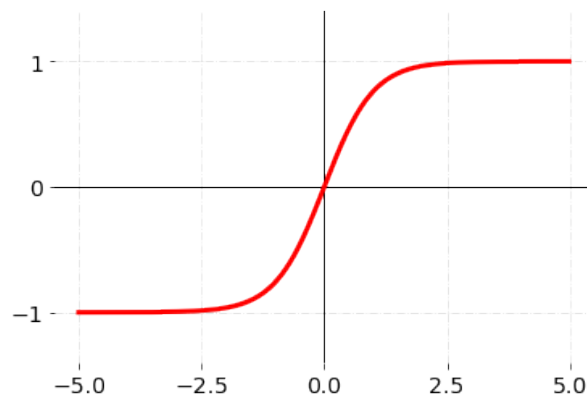


Abbildung 2.3: Darstellung der Tanh-Aktivierungsfunktion (eigene Darstellung)

### 2.6.3 ReLU

Vor kurzem wurde eine sehr einfache Funktion namens ReLU (REctified Linear Unit) sehr beliebt, da sie dazu beiträgt, einige bei Sigmoiden beobachtete Optimierungsprobleme zu lösen [10, S. 11]. Eine ReLU wird relativ einfach in und wird in der Formel 2.6 definiert, die zugehörige Ableitungsfunktion ist in der Formel 2.7. Wie in Abbildung 2.4 zu sehen, ist die Funktion für negative Werte Null und wächst für positive Werte linear. Die ReLU ist relativ einfach zu implementieren (im All-

gemeinen reichen drei Anweisungen aus), während das Sigmoid einige Größenordnungen mehr benötigt.

$$f(x) = \begin{cases} 0 & \text{wenn } x < 0 \\ x & \text{wenn } x \geq 0 \end{cases} \quad (2.6)$$

$$f'(x) = \begin{cases} 1, & \text{wenn } x > 0 \\ 0, & \text{sonst} \end{cases} \quad (2.7)$$

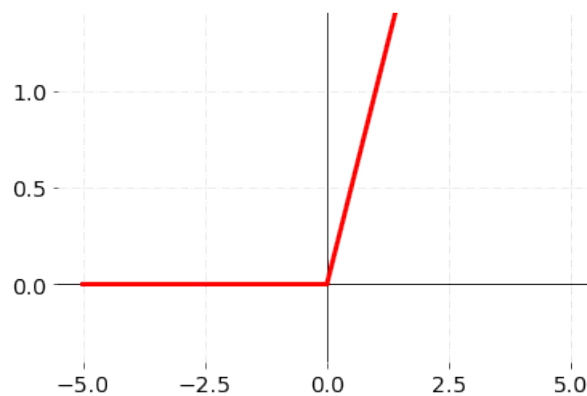


Abbildung 2.4: Darstellung der ReLu-Aktivierungsfunktion (eigene Darstellung)

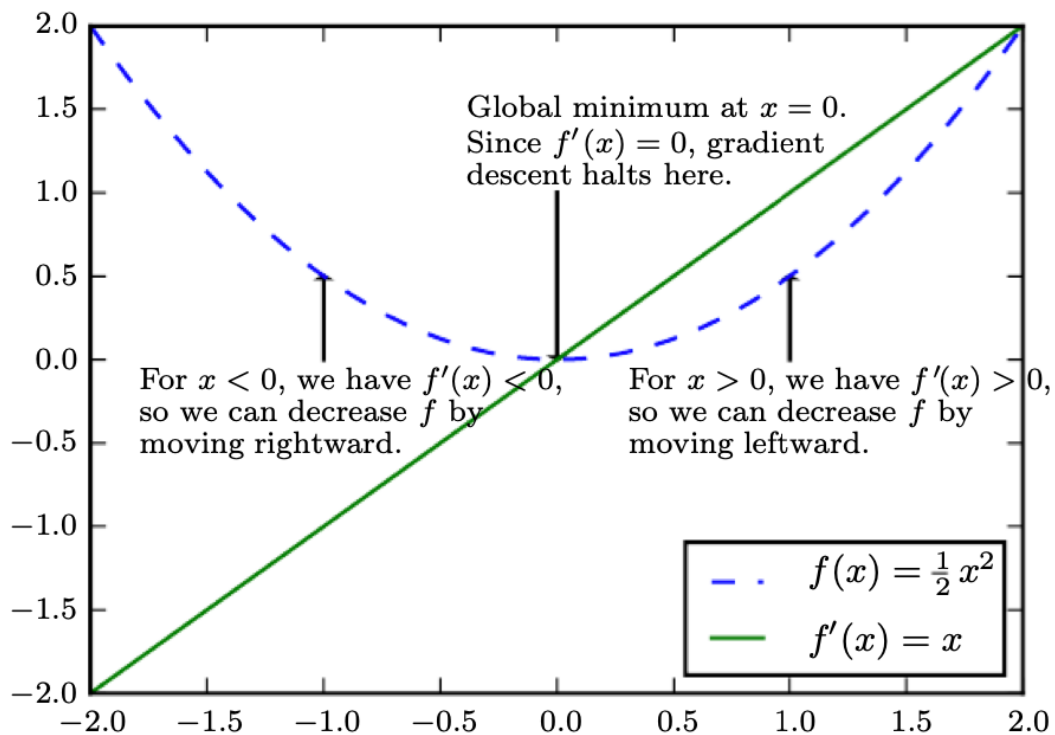
### 2.6.4 softmax

Die grundlegende Schwierigkeit bei der Durchführung kontinuierlicher Mathematik auf einem digitalen Computer besteht darin, dass wir unendlich viele reelle Zahlen mit einer endlichen Anzahl von Bitmustern darstellen müssen. Dies bedeutet, dass für fast alle reellen Zahlen ein Näherungsfehler auftritt, wenn wir die Zahl im Computer darstellen. In vielen Fällen ist dies nur ein Rundungsfehler. Rundungsfehler sind problematisch, insbesondere wenn sie sich über viele Operationen hinweg zusammensetzen, und können dazu führen, dass theoretisch funktionierende Algorithmen in der Praxis fehlschlagen, wenn sie nicht darauf ausgelegt sind, die Anhäufung von Rundungsfehlern zu minimieren. Ein Beispiel für eine Funktion, die gegen Rundungsfehler stabilisiert, ist die Softmax-Funktion [11, S. 80–81].

$$\text{softmax}(x)_i = \frac{\exp(x_i)}{\sum_{j=1}^n \exp(x_j)} \quad (2.8)$$

## 2.7 Optimierungsalgorithmen

Die meisten Deep-Learning-Algorithmen beinhalten irgendeine Art von Optimierung. Optimierung bezieht sich auf die Aufgabe, eine Funktion  $f(x)$  durch Ändern von  $x$  entweder zu minimieren oder zu maximieren. Wir formulieren die meisten Optimierungsprobleme normalerweise in Bezug auf die Minimierung von  $f(x)$ . Die Maximierung kann über einen Minimierungsalgorithmus durch Minimieren von  $-f(x)$  erreicht werden. Die Funktion, die wir minimieren oder maximieren möchten, wird als „objektive Funktion“ oder „Kriterium“ bezeichnet. Wenn wir es minimieren, können wir es auch als Kostenfunktion, Verlustfunktion oder Fehlerfunktion bezeichnen. Die Funktion  $x^* = \arg \min f(x)$  ist eine solche Funktion.



**Abbildung 2.5:** Darstellung des Gradientenabstiegs, entnommen aus [11]. Der Algorithmus nimmt die Ableitung der Funktion bis hin zum Minimum.

Beim Gradientenabstieg können wir uns die Qualität der Vorhersagen unseres Netzwerks als Landschaft vorstellen. Die Hügel stellen Orte (Parameterwerte oder Gewichte) dar, die viele Vorhersagefehler verursachen. Täler repräsentieren Orte mit weniger Fehlern. Wir wählen einen Punkt in dieser Landschaft, an dem wir unser anfängliches Gewicht platzieren möchten. Wir können dann das Anfangsgewicht basierend auf dem Domänenwissen auswählen (wenn wir ein Netzwerk trainieren,

um eine Blumenart zu klassifizieren, wissen wir, dass die Blütenblattlänge wichtig ist, die Farbe jedoch nicht). Wenn wir das Netzwerk die ganze Arbeit machen lassen, wählen wir die Anfangsgewichte möglicherweise zufällig aus. Der Zweck besteht darin, dieses Gewicht so schnell wie möglich bergab in Bereiche mit geringerem Fehler zu bewegen. Ein Optimierungsalgorithmus wie der Gradientenabstieg kann die tatsächliche Neigung der Hügel in Bezug auf jedes Gewicht erfassen. Das heißt, es weiß, in welche Richtung es geht. Der Gefälle-Abstieg misst die Steigung (die durch eine Gewichtsänderung verursachte Fehleränderung) und nimmt das Gewicht einen Schritt in Richtung Talboden [12, S. 34] (siehe Abbildung 2.5).

Es gibt drei Varianten des Gradientenabfalls, die sich darin unterscheiden, wie viele Daten wir zur Berechnung des Gradienten der Zielfunktion verwenden. Abhängig von der Datenmenge machen wir einen Kompromiss zwischen der Genauigkeit der Parameteraktualisierung und der Zeit, die für die Durchführung einer Aktualisierung benötigt wird [13]. In den nächsten beiden Abschnitten werden zwei Varianten vorgestellt.

### 2.7.1 Batch Gradientenabstiegsverfahren

Der Standard Gradientenabstiegsverfahren, auch Batch-Gradientenabstiegsverfahren genannt, berechnet den Gradienten der Kostenfunktion zu den Parametern  $\theta$  für den gesamten Trainingsdatensatz.

$$\theta = \theta - \eta \cdot \nabla_{\theta} J(\theta) \quad (2.9)$$

Da der gesamte Datensatz berechnet werden muss, um nur eine Aktualisierung durchzuführen, kann der Batch-Gradientenabstieg sehr langsam sein und ist für Datensätze, die nicht in den Speicher passen, nicht zu handhaben. Der Batch-Gradientenabstieg ermöglicht es auch nicht, das Modell mit neuen Beispielen im laufenden Betrieb zu aktualisieren [13].

### 2.7.2 Stochastische Gradientenabstiegsverfahren

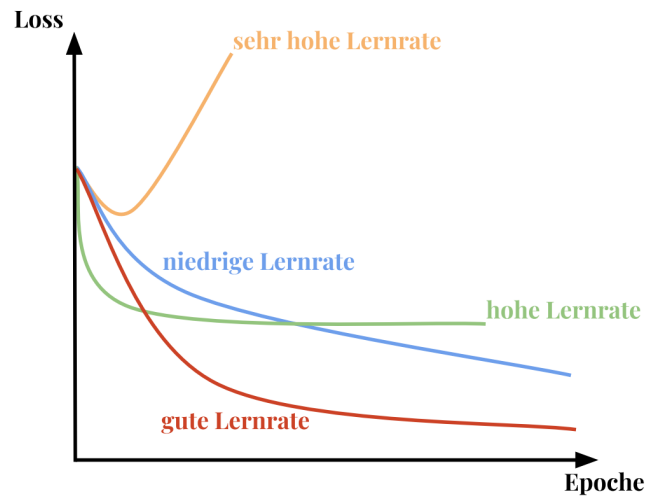
Im Gegensatz dazu führt der stochastische Gradientenabstiegsverfahren (SGD) eine Parameteraktualisierung für jedes Trainingsbeispiel durch. Der Batch-Gradientenabstieg

führt redundante Berechnungen für große Datenmengen durch, da Gradienten für ähnliche Beispiele vor jeder Parameteraktualisierung neu berechnet werden. Der Stochastische Gradientenabstiegsverfahren beseitigt diese Redundanz, indem jeweils ein Update durchgeführt wird. Es ist daher in der Regel viel schneller und kann auch beim laufenden Lernen verwendet werden [13].

$$\theta = \theta - \eta \cdot \nabla_{\theta} J(\theta; x^{(i)}; y^{(i)}) \quad (2.10)$$

## 2.8 Lernrate im Deep Learning

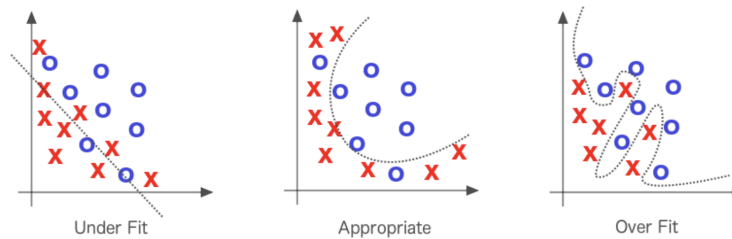
Die Lernrate beeinflusst den Betrag, um den die Parameter während der Optimierung angepasst werden, um den Fehler des neuronalen Netzwerks zu minimieren. Es ist ein Koeffizient, der die Größe der Schritte (Aktualisierungen) skaliert, die ein neuronales Netzwerk auf seinen Parameter (Vektor  $x$ ) ausführt, wenn es den Verlustfunktionsraum durchquert. Ein großer Lernratenkoeffizient (z. B. 1) lässt die Parameter Sprünge machen, und kleine (z. B. 0,00001) lassen ihn langsam voranschreiten. Im Gegensatz dazu sollten kleine Lernraten letztendlich zu einem Fehlerminimum führen (es kann eher ein lokales als ein globales Minimum sein), aber sie können sehr lange dauern und die Belastung eines bereits rechenintensiven Prozesses erhöhen [12, S. 77].



**Abbildung 2.6:** Vergleich unterschiedlicher Lernraten und deren Effekt auf den Verlust. Bei niedrigen Lernraten ist eine „lineare“ Verbesserung zu sehen. Mit hohen Lernraten werden sie exponentieller. Höhere Lernraten verringern den Verlust schneller, bleiben jedoch bei schlechteren Verlustwerten hängen (grüne Linie). Dies liegt daran, dass die Optimierung zu viel „Energie“ enthält und die Parameter „chaotisch herumspringen“ und sich nicht an einem Ort in der Optimierungslandschaft niederlassen können (in Anlehnung an [14]).

### 2.9 Unteranpassung und Überanpassung

Optimierungsalgorithmen versuchen zunächst, das Problem der Unteranpassung „Underfitting“ zu lösen. Das heißt, eine Linie zu nehmen, die sich den Daten nicht gut annähert, und sie besser an die Daten heranzuführen. Eine gerade Linie, die über ein gekrümmtes Streudiagramm schneidet, wäre ein gutes Beispiel für eine Unteranpassung, wie in Abbildung 2.7 dargestellt. Wenn die Linie zu gut zu den Daten passt, haben wir das gegenteilige Problem, das als Überanpassung „Overfitting“ bezeichnet wird [12, S. 27].



**Abbildung 2.7:** Die Abbildung vergleicht die Überanpassung mit der Unteranpassung. Die einzelnen Punkte passen sich dem trainierten Modell zu sehr an, der Verlust wird also so klein, dass die das Modell nicht mehr zuverlässige Ergebnisse liefern kann. Dies ist darauf zurückzuführen, dass das Modell „zu viel“ aus dem Trainingsdatensatz gelernt hat. Unteranpassung ist der Fall, wenn das Modell aus den Trainingsdaten „nicht genug gelernt“ hat, was zu einer geringen Verallgemeinerung und unzuverlässigen Vorhersagen führt (Grafik entnommen aus [12, S. 27]).

## 2.10 Regularisierung

Die Regularisierung hilft bei den Auswirkungen von außer Kontrolle geratenen Parametern, indem verschiedene Methoden verwendet werden, um die Parametergröße im Laufe der Zeit zu minimieren. Der Hauptzweck der Regularisierung besteht darin, die Überanpassung zu kontrollieren [12, S. 79].

Ein zentrales Problem beim maschinellen Lernen besteht darin, einen Algorithmus zu erstellen, der nicht nur bei den Trainingsdaten, sondern auch bei neuen Eingaben eine gute Leistung erbringt. Viele beim maschinellen Lernen verwendete Strategien sind explizit darauf ausgelegt, den Testfehler zu reduzieren, möglicherweise auf Kosten eines erhöhten Trainingsfehlers. Diese Strategien werden zusammen als Regularisierung bezeichnet. Tatsächlich war die Entwicklung effektiverer Regularisierungsstrategien eine der wichtigsten Forschungsanstrengungen auf diesem Gebiet, in den folgenden Abschnitten sollen einige Strategien dargestellt werden. Regularisierung kann schließlich definiert werden als „jede Änderung, die wir an einem Lernalgorithmus vornehmen, um dessen Generalisierungsfehler, aber nicht seinen Trainingsfehler zu reduzieren“ [11, S. 228].

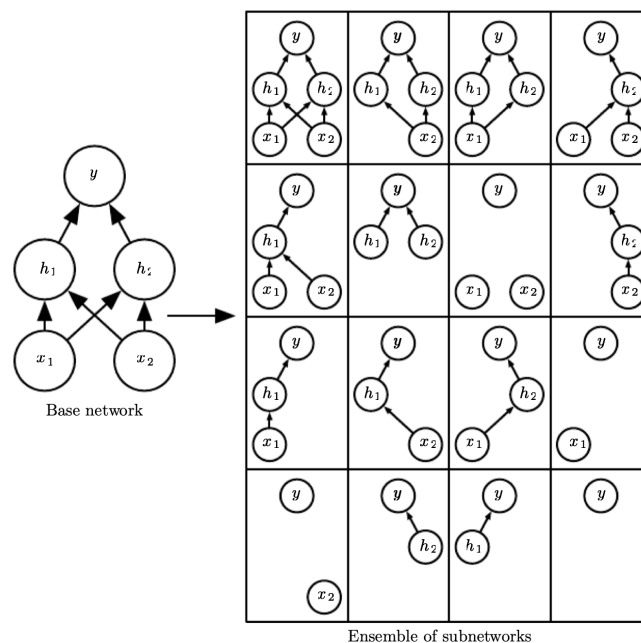
### 2.10.1 Early Stopping

Wenn große Modelle mit trainiert werden, um eine bestimmte Aufgabe lösen, wird häufig festgestellt, dass der Trainingsfehler mit der Zeit stetig abnimmt, der Fehler des Validierungssatzes jedoch wieder zunimmt. Dies bedeutet, dass ein Modell mit

einem besseren Validierungssatzfehler (und damit einem besseren Testsatzfehler) erhalten werden kann, indem zu dem Zeitpunkt mit dem niedrigsten Validierungssatzfehler zur Parametereinstellung zurückgekehrt wird. Jedes Mal, wenn sich der Fehler im Validierungssatz verbessert, wird eine Kopie der Modellparameter gespeichert. Wenn der Trainingsalgorithmus beendet wird, wird diese Parameter anstelle der neuesten Parameter zurückgegeben. Diese Strategie wird als Early Stopping „frühes Stoppen“ bezeichnet. Es ist wahrscheinlich die am häufigsten verwendete Form der Regularisierung. Seine Popularität ist sowohl auf seine Wirksamkeit als auch auf seine Einfachheit zurückzuführen [11, S. 246].

### 2.10.2 Dropout

Eine weitere Strategie um Überanpassung zu vermeiden wird in [15] dargestellt. Dropout bietet eine rechnerisch kostengünstige, aber leistungsstarke Methode zur Regularisierung dar. Es ist das aufteilen von mehreren Ensembles großer Netzwerke. Es wird also ein Ensemble, welches aus mehreren Subnetzwerken (sub-networks) gebildet wird [11, S. 258].



**Abbildung 2.8:** Dropout trainiert ein Ensemble. Ein Ensemble besteht aus allen Teilnetzwerken. Es wird durch das entfernen von Einheiten aufgebaut. Das Ensemble besteht aus 16 Teilmengen, aus den vier Einheiten des Basis-Netzwerks. Die 16 Subnetze werden durch das Löschen verschiedener Teilmengen von Einheiten aus dem ursprünglichen Netzwerk gebildet (entnommen aus [11, S. 260]).



### 2.10.3 L1 und L2

Eine weitere Strategie der Regularisierung ist die Modifikation der L1 und L2 Gewichte. Manchmal müssen wir die Größe eines Vektors messen. Beim Deep Learning wird die Größe von Vektoren mit einer Funktion, die als „Norm“ bezeichnet wird [11, S. 39]. Formal ist die  $L^p$  gegeben als:

$$\|x\| = \left( \sum_i |x_i|^p \right)^{\frac{1}{p}}. \quad (2.11)$$

Normen, einschließlich der  $L^p$ -Norm, sind Funktionen, die Vektoren auf nicht negative Werte abbilden. Auf einer intuitiven Ebene misst die Norm eines Vektors  $x$  den Abstand vom Ursprung zum Punkt  $x$ . Die  $L^2$ -Norm mit  $p = 2$  ist als euklidische Norm bekannt. Es ist der euklidische Abstand vom Ursprung zum Punkt  $x$ . Die  $L^2$ -Norm wird beim maschinellen Lernen häufig verwendet, sie wird einfach als  $\|x\|$  bezeichnet, wobei der Index 2 weggelassen wird [11, S. 39].

Wenn zwischen Elementen zu unterscheiden werden soll, die genau Null sind, und Elementen, die klein, aber ungleich Null sind wird eine Funktion angewendet, die an allen Standorten mit der gleichen Geschwindigkeit wächst, aber die mathematische Einfachheit beibehält: die L1-Norm. Die  $L^1$ -Norm kann vereinfacht werden als:

$$\|x\|_1 = \sum_i |x_i|. \quad (2.12)$$

Die  $L^2$ -Norm wird üblicherweise beim maschinellen Lernen verwendet, wenn der Unterschied zwischen Null- und Nicht-Null-Elementen sehr wichtig ist [11, S. 40].

## 2.11 Verlustfunktion und Kreuzentropie

### 2.11.1 Verlustfunktionen

Innerhalb eines neuronalen Netzwerks wandelt eine Verlustfunktion alle möglichen Fehler, in eine Zahl um, die den Gesamtfehler des Netzwerks darstellt. Im Wesentlichen ist es ein Maß dafür, wie falsch ein Netzwerk ist. Auf einer technischeren Ebene werden ein Ereignis oder Werte einer oder mehrerer Variablen einer reellen

Zahl zugeordnet. Diese reelle Zahl stellt den „Verlust“ oder die „Kosten“ dar, die mit dem Ereignis oder den Werten verbunden sind [8, S. 61–62].

Das Neuron durch lern dadurch, indem es den Gewicht und den Bias mit einer Rate ändert, die durch die partiellen Ableitungen der Kostenfunktion  $\partial C/\partial w$  und  $\partial C/\partial b$  bestimmt wird. Zu sagen, dass das „Lernen langsam ist“, ist also dasselbe wie zu sagen, dass diese partiellen Ableitungen klein sind. Die Herausforderung besteht darin zu verstehen, warum sie klein sind. Um dies zu verstehen, berechnen wir die partiellen Ableitungen [7, S. 61]. Gegeben sei die quadratische Verlustfunktion:

$$C = \frac{(y - a)^2}{2}, \quad (2.13)$$

dabei ist  $a$  die Ausgabe des Neurons, wenn die Trainingseingabe  $x = 1$  ist, und  $y = 0$  die entsprechende gewünschte Ausgabe. Um dies in Bezug auf Gewicht und Bias expliziter zu schreiben, sei daran erinnert, dass  $a = \sigma(z)$  ist, wobei  $z = wx + b$  ist. Es ergeben sich durch die Anwendung der Kettenregel folgende Gleichungen:

$$\frac{\partial C}{\partial w} = (a - y)\sigma'(z)x = a\sigma'(z) \quad (2.14)$$

$$\frac{\partial C}{\partial b} = (a - y)\sigma'(z) = a\sigma'(z). \quad (2.15)$$

Aus der Abbildung 2.2 ist die Kurve der Sigmoidfunktion zu sehen, welches. Die Kurve wird sehr flach, wenn der Ausgang des Neurons nahe bei 1 liegt, und daher wird  $\sigma'(z)$  sehr klein. Die Gleichungen 2.14 und 2.15 sagen uns dann, dass  $\partial C/\partial w$  und  $\partial C/\partial b$  sehr klein werden. Dies ist der Grund warum das lernen langsamer wird.

### 2.11.2 Kreuzentropie

Nach [7, S. 62] kann die Lernverlangsamung gelöst werden, indem die quadratischen Verlustfunktion durch eine andere Verlustfunktion ersetzt wird. Diese Funktion wird als Kreuzentropie bezeichnet. Die Abbildung 2.9 zeigt die Kreuzentropie mit mehreren Eingabevariablen und entsprechenden Gewichten und dem Bias. Die Ausgabe des Neurons ist  $a = \sigma(z)$ , wobei  $z = \sum_j w_j b_j + b$  ist, die gewich-

tete Summe des Inputs. Wir definieren die Kreuzentropiekostenfunktion für dieses Neuron durch:

$$C = -\frac{1}{n} \sum_x [y \ln a + (1 - y) \ln(1 - a)] \quad (2.16)$$

wobei  $n$  die Gesamtzahl der Trainingselemente darstellt. Die Summe gibt die entsprechende gewünschte Ausgabe  $x$  und  $y$  über alle Trainingseingaben an. Zusammenfassend ist die Kreuzentropie positiv und tendiert gegen Null, wenn das Neuron „besser“ wird in der Berechnung der gewünschten Ausgabe  $y$  für alle Trainingseingaben  $x$ . Die entropieübergreifende Kostenfunktion hat jedoch den Vorteil, dass sie im Gegensatz zu den quadratischen Kosten das Problem der Verlangsamung des Lernens vermeidet. Um dies zu sehen, berechnen wir die partielle Ableitung der Kreuzentropiekosten in Bezug auf die Gewichte [7, S. 63].

$$\begin{aligned} \frac{\partial C}{\partial w_j} &= -\frac{1}{n} \sum_x \left( \frac{y}{\sigma(z)} - \frac{1-y}{1-\sigma(z)} \right) \frac{\partial \sigma}{\partial w_j} = \\ &= -\frac{1}{n} \sum_x \left( \frac{y}{\sigma(z)} - \frac{1-y}{1-\sigma(z)} \right) \sigma'(z) x_j \end{aligned} \quad (2.17)$$

$$\frac{\partial C}{\partial w_j} = \frac{1}{n} \sum_x \frac{\sigma'(z) x_j}{\sigma(z)(1-\sigma(z))} (\sigma(z) - y) \quad (2.18)$$

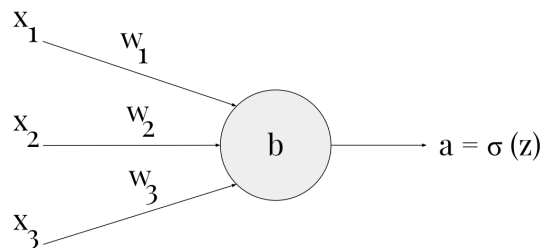
$$\frac{\partial C}{\partial w_j} = \frac{1}{n} \sum_x x_j (\sigma(z) - y) \quad (2.19)$$

Die Gleichungen 2.11.2, 2.11.2 und 2.11.2 zeigen dass die Geschwindigkeit, mit der das Gewicht  $w$  lernt, durch  $\sigma(z) - y$  gesteuert wird, also durch den Fehler in der Ausgabe. Je größer der Fehler wird, desto schneller lernt das Neuron. Dies ist genau das ein gewünschtes Verhalten. Insbesondere wird die Lernverlangsamung vermieden, die durch den Term  $\sigma'(z)$  in der analogen Gleichung für die quadratischen Kostenfunktion 2.14 verursacht wird. Wenn wir die Kreuzentropie verwenden, wird der Term  $\sigma'(z)$  aufgehoben, und wir brauchen uns keine Sorgen mehr

darüber zu machen, dass er klein ist. Diese Aufhebung ist das besondere, das durch die Kreuzentropie-Kostenfunktion gewährleistet wird [7, S. 63–64].

Analog zur Gleichung, und ergibt die Berechnung für den Bias folgende Gleichung:

$$\frac{\partial C}{\partial b} = \frac{1}{n} \sum_x (\sigma(z) - y). \quad (2.20)$$



**Abbildung 2.9:** Das Neuron wird mit 3 Eingabewerten  $(x_1, x_2, x_3)$  den dazugehörigen Gewichten  $(W_1, W_2, W_3)$  trainiert. Der Bias ist durch  $b$  angegeben und die Ausgabe mit  $a = \sigma(z)$  (in Anlehnung an [7])

### 2.12 Convolutional Neural Network

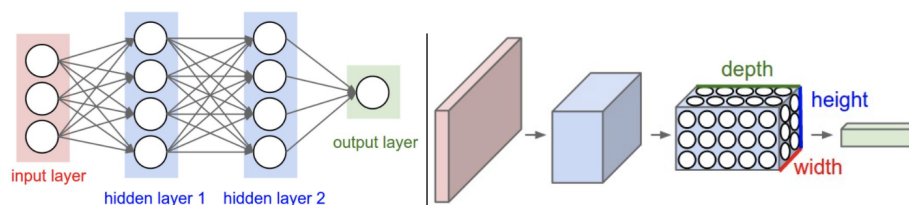
Convolutional Neural Networks (CNNs) arbeiten mit gitterstrukturierten Eingaben, die in lokalen Regionen des Netzes starke räumliche Abhängigkeiten aufweisen. Das offensichtlichste Beispiel für gitterstrukturierte Daten ist ein zweidimensionales Bild. Diese Art von Daten weist auch räumliche Abhängigkeiten auf, da benachbarte räumliche Orte in einem Bild häufig ähnliche Farbwerte der einzelnen Pixel aufweisen. Eine zusätzliche Dimension erfasst die verschiedenen Farben, wodurch ein dreidimensionales Eingabevolumen entsteht. Daher weisen die Merkmale in einem CNN Abhängigkeiten untereinander auf, die auf räumlichen Abständen beruhen. Andere Formen von sequentiellen Daten wie Text, Zeitreihen und Sequenzen können ebenfalls als Sonderfälle von Daten mit Gitterstruktur mit verschiedenen Arten von Beziehungen zwischen benachbarten Elementen betrachtet werden. Die überwiegende Mehrheit der Anwendungen von CNNs konzentriert sich auf Bilddaten, obwohl man diese Netze auch für alle Arten von zeitlichen, räumlichen und raumzeitlichen Daten verwenden kann. Ein wichtiges definierendes Merkmal von

CNNs ist eine Operation, die als Faltung (convolution) bezeichnet wird. [16, S. 315–316].

### 2.12.1 Architektur

In CNNs sind mehrere Schichten miteinander verbunden und jeder Schicht hat Gitterstruktur. Die Beziehungen zwischen den Schichten werden von einer Schicht zur nächsten vererbt, da jeder Merkmalswert auf einem kleinen lokalen Bereich aus der vorherigen Schicht basiert. Es ist wichtig, diese räumlichen Beziehungen zwischen den Gitterzellen aufrechtzuerhalten, da die Faltungsoperation und die Transformation zur nächsten Schicht von diesen Beziehungen abhängen. Jede Schicht im Faltungsnetzwerk ist eine dreidimensionale Gitterstruktur mit einer Höhe, Breite und Tiefe. Die Tiefe einer Schicht in einem Faltungsnetzwerk ist nicht die Tiefe des Netzwerks selbst. Das Wort „Tiefe“ bezieht sich auf die Anzahl der Kanäle in jeder Ebene, z. B. die Anzahl der Primärfarbkkanäle (z. B. Blau, Grün und Rot) im Eingabebild [16, S. 318].

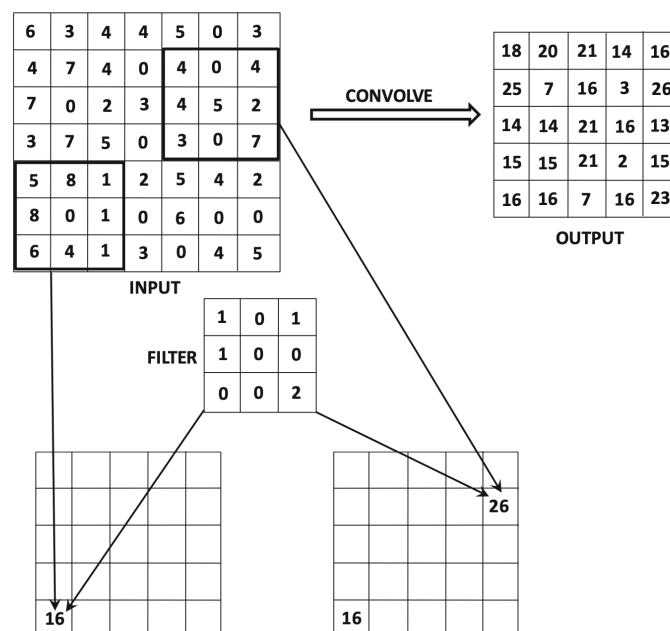
Ein ConvNet besteht aus Ebenen. Ein einfaches ConvNet ist eine Folge von Schichten, und jede Schicht eines ConvNet wandelt eine Schicht durch eine differenzierbare Funktion in ein anderes um. Es wird dabei drei Arten von Schichten geben um ein ConvNet Architekturen zu bauen: Faltungs-Schicht , Pooling-Schicht und die vollständig verbundene Schicht [17].



**Abbildung 2.10:** Links: Ein reguläres 3-Schicht-Neuronales Netz. Rechts: Ein ConvNet ordnet seine Neuronen in drei Dimensionen (Breite, Höhe, Tiefe) an, wie in einer der Ebenen dargestellt. Jede Schicht eines ConvNet wandelt das 3D-Eingangsvolumen in ein 3D-Ausgangsvolumen von Neuronenaktivierungen um. In diesem Beispiel enthält die rote Eingabeebene das Bild, sodass seine Breite und Höhe den Abmessungen des Bildes entsprechen. Die „Tiefe“ sind die 3 Farbkkanäle (rot, grün, blau) aus [17].

### 2.12.2 Convolutional Layer

Die Parameter der CONV-Schicht bestehen aus einer Reihe von lernbaren Filtern. Jedes dieser Filter ist räumlich klein (Breite und Höhe), erstreckt sich jedoch über die gesamte Tiefe des Eingangsvolumens. Beispielsweise könnte ein typischer Filter auf einer ersten Schicht eines ConvNet die Größe  $5 \times 5 \times 3$  haben (d. H. 5 Pixel Breite und Höhe und 3, weil Bilder die Tiefe 3 haben, die Farbkanäle). Während des Vorwärtsthroughs wird jedes der Filter über die Breite und Höhe des Eingangsvolumens gefaltet und es werden die Punktprodukte zwischen den Einträgen des Filters und dem Eingang an einer beliebigen Position berechnet. Wenn der Filter über die Breite und Höhe des Eingangsvolumens gefaltet wird, wird eine zweidimensionale Aktivierungskarte erstellt, die die Antworten dieses Filters an jeder räumlichen Position angibt. Intuitiv lernt das Netzwerk Filter, die aktiviert werden, wenn sie eine Art visuelles Merkmal sehen, z. B. eine Kante mit einer bestimmten Ausrichtung oder einen Farbfleck auf der ersten Ebene oder schließlich radähnliche Muster auf höheren Ebenen des Netzwerks. Es entstehen somit ein ganzer Satz von Filtern in jeder CONV-Schicht (z. B. 12 Filter), und jeder von ihnen erzeugt eine separate zweidimensionale Aktivierungskarte. Diese Karten werden entlang der Tiefendimension gestapelt und das Ausgabevolumen erzeugt [17].



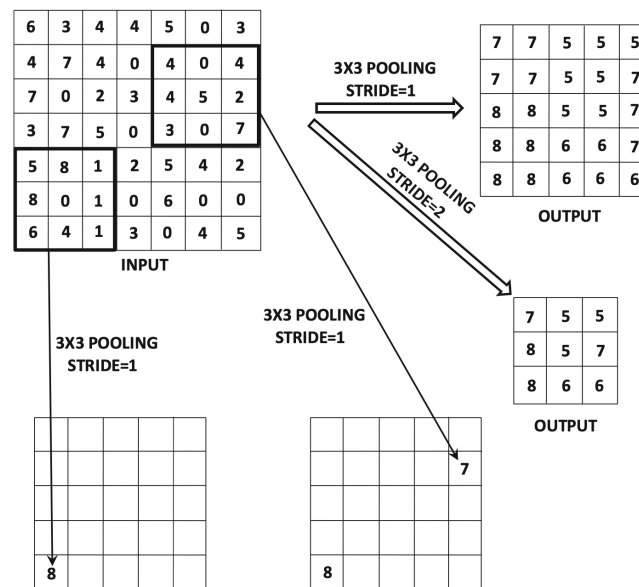
**Abbildung 2.11:** Die Faltungsoperation geschieht durch eine Punktprodukt Operation über des Filters, was über alle räumlichen Positionen wiederholt wird „Tiefe“ sind die 3 Farbkkanäle (rot, grün, blau) aus [16, S. 321].

**Padding**

Es ist zu beobachten, dass die Faltungsoperation die Größe der  $(q + 1)$ -ten Schicht im Vergleich zur Größe der  $q$ -ten Schicht verringert. Diese Art der Größenreduzierung ist im Allgemeinen nicht wünschenswert, da sie dazu neigt, einige Informationen entlang der Bildränder (oder der Feature-Map im Fall von ausgeblendeten Ebenen) zu verlieren. Dieses Problem kann durch Auffüllen (padding) gelöst werden. Beim Auffüllen werden „Pixel“ rund um die Ränder der Feature-Map hinzugefügt. Der Wert jedes dieser aufgefüllten Feature-Werte wird auf 0 gesetzt, unabhängig davon, ob die Eingabe oder die ausgeblendeten Ebenen aufgefüllt werden. Diese Bereiche tragen nicht zum endgültigen Punktprodukt bei, da ihre Werte auf 0 gesetzt sind. Ein Teil des Filters aus den Rändern der Schicht wird „herausragt“ und dann durch das Durchführen des Punktprodukts nur über den Teil der Ebene, in dem die Werte definiert sind ersetzt [16, S. 323].

**2.12.3 Pooling Layer**

Es ist üblich, regelmäßig eine Pooling-Ebene zwischen aufeinanderfolgenden Conv-Ebenen in eine ConvNet-Architektur einzufügen. Seine Funktion besteht darin, die räumliche Größe der Darstellung schrittweise zu verringern, um die Anzahl der Parameter und die Berechnung im Netzwerk zu verringern und damit auch die Überanpassung zu steuern. Die Pooling-Ebene arbeitet unabhängig mit jedem Tiefenabschnitt der Eingabe und ändert die Größe räumlich mithilfe der MAX-Operation. Die gebräuchlichste Form ist eine Pooling-Ebene mit Filtern der Größe  $2 \times 2$ , die mit einem Schritt (Stride) von 2 Downsamples pro Tiefenscheibe in der Eingabe um 2 entlang der Breite und Höhe angewendet werden, wobei 75% der Aktivierungen verworfen werden. Jede MAX-Operation würde in diesem Fall maximal 4 Zahlen annehmen. Der „Volumen“ bleibt unverändert [17].



**Abbildung 2.12:** Ein Beispiel für ein Max-Pooling einer Aktivierungskarte der Größe  $7 \times 7$  mit Stride von 1 und 2. Ein Stride von 1 erzeugt eine  $5 \times 5$ -Aktivierungskarte mit stark wiederholten Elementen aufgrund der Maximierung in überlappenden Regionen. Ein Stride von 2 erzeugt eine  $3 \times 3$ -Aktivierungskarte mit weniger Überlappung [16, S. 326].

### 2.12.4 Vollständig verbundene Ebenen

Diese Ebene wird am Ende des Netzwerkes verwendet, um Klassenwerte zu berechnen, die als Ausgabe des Netzwerkes dienen sollen. In einem traditionellen vorwärtsgerichteten neuronalen Netzwerk wird jedes Eingangsneuron mit jedem Ausgangsneuron in der nächsten Schicht verbunden. Dies wird auch als vollständig verbundene Schicht bezeichnet. Der einzige Unterschied zwischen FC- und CONV-Schichten besteht darin, dass die Neuronen in der CONV-Schicht nur mit einer lokalen Region in der Eingabe verbunden sind. Die Neuronen in beiden Schichten berechnen jedoch immer noch Punktprodukte, sodass ihre funktionale Form identisch ist. Daher stellt sich heraus, dass es möglich ist, zwischen FC- und CONV-Schichten zu konvertieren [17].

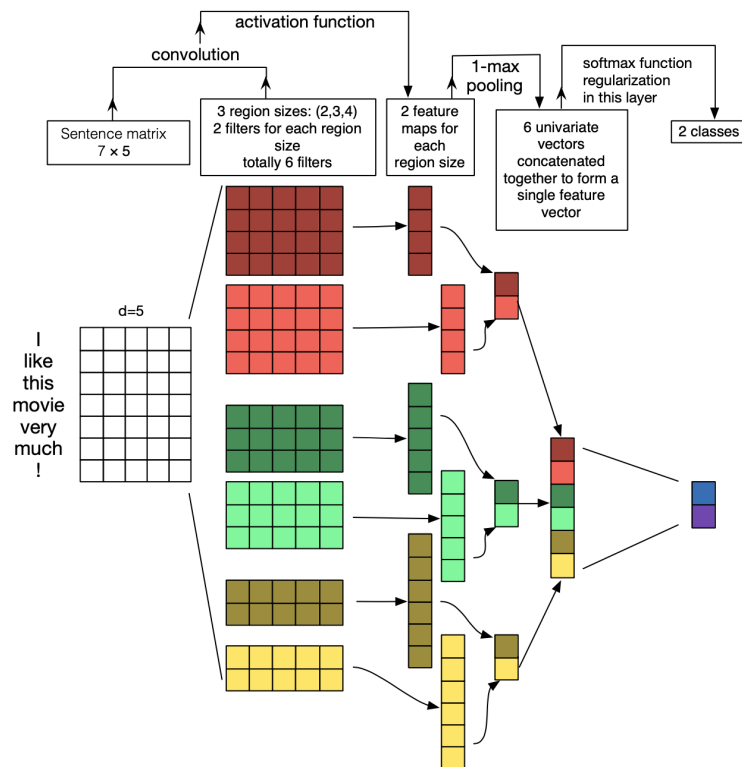
### 2.12.5 CNN in der Textverarbeitung

Anstelle von Bildpixeln können die Eingaben für die meisten NLP-Aufgaben Sätze oder Dokumente, als eine Matrix dargestellt werden. Jede Zeile der Matrix entspricht einem Token, normalerweise einem Wort, aber es kann sich auch um ein



Zeichen handeln. Das heißt, jede Zeile ist ein Vektor, der ein Wort darstellt. Typischerweise sind diese Vektoren Worteinbettungen (niedrigdimensionale Darstellungen) wie word2vec oder GloVe, aber sie können auch One-Hot-Vektoren sein, die das Wort in ein Vokabular indizieren. Für einen 10-Wort-Satz unter Verwendung einer 100-dimensionalen Einbettung hätten wir eine  $10 \times 100$ -Matrix als Eingabe [18].

In der Vision „gleiten“ die Filter über lokale „patches“ eines Bildes, in NLP wird jedoch der Filter über die ganze Zeilen der Matrix (Wörter) gleiten. Daher entspricht die Breite der Filter normalerweise der Breite der Eingabematrix. Die Höhe oder Regionsgröße kann variieren, aber „Schiebefenster“ mit jeweils mehr als 2-5 Wörtern sind typisch. Pixel, die nahe beieinander liegen, sind wahrscheinlich semantisch verwandt (Teil desselben Objekts), aber das Gleiche gilt nicht immer für Wörter. In vielen Sprachen können Teile von Phrasen durch mehrere andere Wörter getrennt werden. Der kompositorische Aspekt ist ebenfalls nicht offensichtlich. Es ist klar, dass Wörter in gewisser Weise zusammengesetzt sind, wie ein Adjektiv, das ein Substantiv modifiziert, aber wie genau dies funktioniert, was Darstellungen auf höherer Ebene tatsächlich „bedeuten“, ist nicht so offensichtlich wie im Fall von Computer Vision. Angesichts all dessen scheinen CNNs nicht gut für NLP-Aufgaben geeignet zu sein. Wiederkehrende neuronale Netze (RNNs) sind intuitiver. Sie ähneln der Art und Weise, wie wir Sprache verarbeiten (oder zumindest wie wir denken, dass wir Sprache verarbeiten). Lesen nacheinander von links nach rechts. Glücklicherweise bedeutet dies nicht, dass CNNs nicht funktionieren. Alle Modelle sind falsch, aber einige sind nützlich. Es stellt sich heraus, dass CNNs, die auf NLP-Probleme angewendet werden, recht gut funktionieren. Ein großes Argument für CNNs ist, dass sie schnell sind. Faltungen sind ein zentraler Bestandteil der Computergrafik und werden auf Hardwareebene auf GPUs implementiert. Mit einem großen Wortschatz kann das Berechnen schnell „teuer“ werden. Faltungsfilter lernen automatisch gute Darstellungen, ohne das gesamte Vokabular darstellen zu müssen [19].



**Abbildung 2.13:** Illustration einer CNN-Architektur zur Satzklassifizierung. Es sind drei Filterbereichsgrößen vorhanden: 2, 3 und 4. Filter führen Faltungen in der Satzmatrix durch und generieren Feature-Maps (mit variabler Länge). Über jede Karte wird ein 1-Max-Pooling durchgeführt, d. H. die größte Anzahl von jeder Merkmalskarte wird aufgezeichnet. Somit wird aus allen sechs Karten ein univariater Merkmalsvektor erzeugt, und diese sechs Merkmale werden verkettet, um einen Merkmalsvektor für die vorletzte Schicht zu bilden. Die letzte Softmax-Schicht empfängt dann diesen Merkmalsvektor als Eingabe und verwendet ihn zur Klassifizierung des Satzes an. Hier wird eine binäre Klassifikation angewendet und es gibt daher zwei mögliche Ausgangszustände dar [18].

## **Kapitel 3**

# **Die Natürliche Sprache**

Die Verarbeitung natürlicher Sprache (NLP) ist ein Teilbereich des maschinellen Lernens (ML), der sich mit natürlicher Sprache befasst, häufig in Form von Text, der selbst aus kleineren Einheiten wie Wörtern und Zeichen besteht. Der Umgang mit Textdaten ist problematisch, da unsere Computer, Skripte und Modelle für maschinelles Lernen, keinen Text im menschlichen Sinne lesen und verstehen können. Wenn ich das Wort „Katze“ lese, werden viele verschiedene Assoziationen aufgerufen - es ist ein kleines Pelztier, Fische frisst und 4 Beine hat. Aber diese sprachlichen Assoziationen sind das Ergebnis recht komplexer neurologischer Berechnungen, die über Millionen Jahre verfeinert wurden. Während unsere ML-Modelle ohne vorgefertigtes Verständnis der Wortbedeutung von vorne beginnen müssen.

### **3.1 Textverarbeitung und Textnormalisierung**

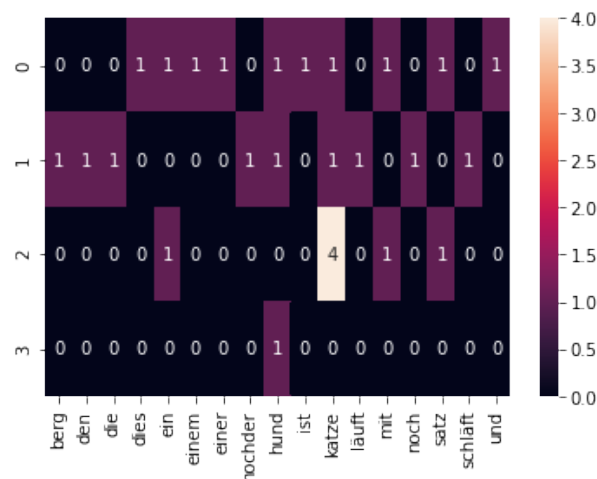
### **3.2 One-Hot-Codierung**

Die numerischen Werte sollten so viel wie möglich von der sprachlichen Bedeutung eines Wortes erfassen. Eine gut ausgewählte, informative Eingabedarstellung kann einen massiven Einfluss auf die Gesamtleistung des Modells haben. Worteinbettungen sind der vorherrschende Ansatz für dieses Problem und so weit verbreitet, dass ihre Verwendung praktisch in jedem NLP-Projekt angenommen wird. Unabhängig davon, ob Sie ein Projekt in den Bereichen Textklassifizierung, Sentimentanalyse oder maschinelle Übersetzung starten.

Angenommen es wird ein Modell entwickelt mit einem Wortschatz von 10.000 Wörtern. Eine Möglichkeit wäre es, ein Index aufzustellen und jedem Wort ein Integer zu geben. Dieser Integer würde dann in ein Vektor umgewandelt, wobei das erste Wort einen Vektor  $[1, 0, 0, 0, \dots, 0]$  hätte und das also ein Vektor mit einer 1 am Anfang und 9.998 Nullen. Diese Repräsentation des Wortschatzes wird als „one-hot vector encoding“ bezeichnet.

Angenommen, unser NLP-Projekt erstellt ein Übersetzungsmodell und wir möchten den englischen Eingabesatz „Die Katze ist schwarz“ in eine andere Sprache übersetzen. Wir müssen zuerst jedes Wort mit einer One-Hot-Codierung darstellen. Wir würden zuerst den Index des ersten Wortes „the“ nachschlagen und feststellen, dass sein Index in der Vokabelliste 8676 ist. Wir könnten dann das Wort „the“ unter Verwendung eines Vektors mit einer Länge von 10.000 darstellen, wobei jeder Eintrag eine 0 ist, abgesehen von dem Eintrag an Position 8676, der eine 1 ist. Wir führen diese Indexsuche für jedes Wort im Eingabesatz durch und erstellen einen Vektor, der jedes Eingabewort darstellt. Dieser Prozess generiert für jedes Eingabewort einen sehr „spärlichen“ (meist null) Merkmalsvektor.

Idealerweise möchten wir, dass ähnliche Wörter wie „Katze“ und „Tiger“ ähnliche Merkmale aufweisen. Aber mit One-Hot-Codierung sind Vektoren für „Katze“ und „Tiger“ so ähnlich wie buchstäblich jedes andere Wort. Ein weiterer Punkt ist, dass wir möglicherweise analoge Vektoroperationen für die Worteinbettungen durchführen möchten (wie z.B. „Katze“ + „groß“ = „Tiger“).



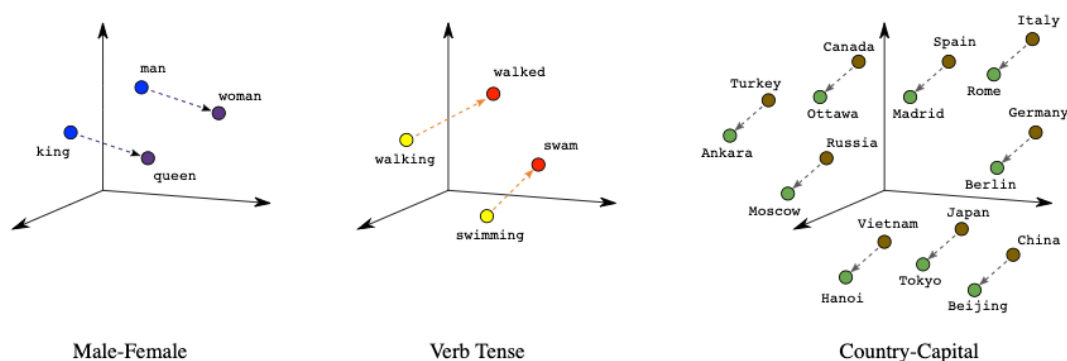
**Abbildung 3.1:** Die Grafik zeigt wie ein Beispielkorpus welches aus 5 Sätzen besteht, in einer Matrix dargestellt werden kann. Je nach Häufigkeit wird jedes Wort im Wortschatz entsprechend den Sätzen im Korpus abgebildet. Der Korpus besteht aus 5 Sätzen („Dies ist ein Satz mit einer Katze und einem Hund.“, „Die Katze läuft den Berg hoch.“, „Der Hund schläft noch.“, „Ein Satz mit Katze Katze Katze Katze.“ und „Ein Hund.“) (eigene Darstellung).

Wenn bei One-Hot-Codierung der Wortschatz um  $n$  erhöht wird, erhöhen sich auch die Merkmalsgrößenvektoren um die Länge  $n$ . Die One-Hot-Vektordimensionalität entspricht der Anzahl der Wörter. Mehr Features bedeuten nämlich, dass mehr Parameter geschätzt werden müssen, und exponentiell mehr Daten benötigt werden, um diese Parameter gut genug zu schätzen, um ein einigermaßen verallgemeinerbares Modell zu erstellen („curse of dimensionality“).

### 3.3 Worteinbettungen

Wenn davon ausgegangen wird, dass Wörter wie „Katze“ und „Tiger“ tatsächlich ähnlich sind, möchten wir diese Informationen auf irgendeine Weise an das Modell weitergeben. Dies wird besonders wichtig, wenn eines der Wörter selten ist (z. B. „Liger“), da es auf den Berechnungspfad zurückgreifen kann, den ein ähnliches, häufigeres Wort durch das Modell führt. Dies liegt daran, dass das Modell während des Trainings lernt, die eingegebene „Katze“ auf eine bestimmte Weise zu behandeln, indem es sie durch Schichten von Transformationen sendet, die durch Gewichte und Bias-Parameter definiert sind. Wenn das Netzwerk schließlich „Liger“ sieht und seine Einbettung „Katze“ ähnelt, wird es einen ähnlichen Weg wie „Katze“ einschlagen, anstatt dass das Netzwerk lernen muss, wie es vollständig von Grund auf neu zu handhaben ist. Es ist sehr schwierig, Vorhersagen über Dinge zu treffen, die das Modell noch nie zuvor gesehen hat, jedoch viel einfacher, wenn es sich auf etwas bezieht, dass es gesehen hat.

Vektoren zur Darstellung von Wörtern werden im Allgemeinen als Einbettungen bezeichnet, da das Wort in einen bestimmten Vektorraum eingebettet wird [20, S. 99].



**Abbildung 3.2:** Durch Worteinbettungen können interessante Analogien zwischen einzelnen Wörtern gefunden werden. (Entnommen aus [21])

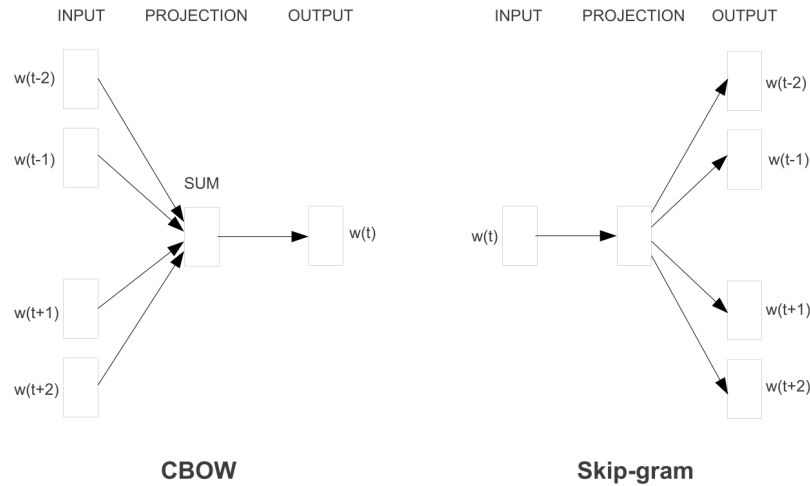
Word2Vec [22] Worteinbettungen sind Vektordarstellungen von Wörtern, die normalerweise von einem Modell gelernt werden, wenn große Textmengen als Eingabe eingegeben werden (z. B. Wikipedia, Wissenschaft, Nachrichten, Artikel usw.). Diese Darstellung von Wörtern erfasst die semantische Ähnlichkeit zwischen Wörtern unter anderen Eigenschaften. Word2Vec-Worteinbettungen werden so gelernt, dass der Abstand zwischen Vektoren für Wörter mit enger Bedeutung (z. B. „König“ und „Königin“) näher ist als der Abstand für Wörter mit völlig unterschiedlichen Bedeutungen (z. B. „König“ und „Katze“).

Bei der One-Hot-Codierung haben die Wörter „gut“ und „großartig“ Wir haben gesehen, dass bei der One-Hot-Codierung gibt es keine Projektion entlang der anderen Dimensionen. Dies bedeutet, dass „gut“ und „großartig“ so unterschiedlich sind wie „Tag“ und „haben“, was nicht stimmt. Hier kommt die Idee, verteilte Darstellungen zu erzeugen. Intuitiv wird eine gewisse Abhängigkeit eines Wortes von den anderen Wörtern eingeführt. Die Wörter im Kontext dieses Wortes würden einen größeren Anteil dieser Abhängigkeit erhalten. In der One-Hot-Coding-Darstellung sind alle Wörter unabhängig voneinander, wie bereits erwähnt.

#### **3.3.1 Word2Vec mit der Skip-Gram Architektur**

Wörter können als spärliche, lange Vektoren mit vielen Dimensionen dargestellt werden. Eine alternative Methode ist die Darstellung eines Wortes mit der Verwendung von kurzen Vektoren, mit einer Länge von vielleicht 50-1000 und einer großen dichte (die meisten Werte sind nicht Null). Es stellt sich heraus, dass dichte Vektoren in jeder NLP-Aufgabe besser funktionieren als spärliche Vektoren. Erstens können dichte Vektoren erfolgreicher als Features in maschinellen Lernsystemen aufgenommen werden. Wenn wir beispielsweise 100-dimensionale Worteinbettungen als Merkmale verwenden, kann ein Klassifizierer nur 100 Gewichte lernen, um die Bedeutung des Wortes darzustellen. Wenn wir stattdessen einen 50.000-dimensionalen Vektor eingeben, müsste ein Klassifizierer Zehntausende von Gewichten für jede der spärlichen Dimensionen lernen. Zweitens können dichte Vektoren besser verallgemeinern und helfen, eine Überanpassung zu vermeiden, da sie weniger Parameter als spärliche Vektoren mit expliziten Zählungen enthalten. Schließlich können dichte Vektoren die Synonymie besser erfassen als spärliche Vektoren. Zum Beispiel sind Auto und Automobil Synonyme; In einer typischen spärlichen Vektordarstellung sind beide Dimensionen unterschiedliche Dimensionen. Da die Be-

ziehung zwischen diesen beiden Dimensionen nicht modelliert wird, können spärliche Vektoren möglicherweise die Ähnlichkeit zwischen einem Wort mit dem Auto als Nachbarn und einem Wort mit dem Automobil als Nachbarn nicht erfassen [20, S. 110–111].



**Abbildung 3.3:** Die CBOW-Architektur sagt das aktuelle Wort basierend auf dem Kontext voraus, während das Skip-Gramm die umgebenden Wörter voraussagt, wenn das aktuelle Wort gegeben ist aus [23]).

Der Skip-Gram-Algorithmus ist einer von zwei Algorithmen in einem Softwarepaket namens word2vec, und so wird der Algorithmus manchmal auch als word2vec bezeichnet [22][23]. Die Intuition von word2vec ist, dass anstatt zu zählen, wie oft jedes Wort  $w$  in der Nähe von einem anderen Wort vorkommt, einen Klassifikator für eine binäre Vorhersageaufgabe zu trainieren. Die erlernten Klassifikatorgewichte werden dann als Worteinbettungen genommen [20, S. 111].

Beim Skip-Gram besteht das Ziel, eine Klassifikation zu trainieren. Dabei wird ein Zielwort  $t$  mit Kandidaten aus dem Kontext  $c$  in ein Tuple gesetzt.  $P(+|t, c)$  sagt dann aus, wie wahrscheinlich es ist, dass ein Kontextwort  $c$  ein echter Kontext ist. Zum Beispiel sei gegeben der Satz „Wir essen Spaghetti zum Abendessen...“. Wenn nur der Kontext  $\pm 2$  Wörter betrachtet wird, und  $t$  das Wort „essen“ ist, wird die Klassifikation für das Tuple  $(essen, spaghetti)$  „true“ und für das Tuple  $(essen, auto)$  „false“ zurückgeben [20, S. 111].

$$P(-|t, c) = 1 - P(+|t, c) \quad (3.1)$$

Die Ähnlichkeit eines Wortes zu einem anderen Wort, kann berechnet werden, indem das Skalarprodukt berechnet wird. Dies ist zunächst nur eine Zahl zwischen  $-\infty$  und  $+\infty$ . Um aus diesem Produkt eine Wahrscheinlichkeit zu berechnen, wird die **sigmoid** Funktion  $\sigma(x)$  angewendet. Die Logistikfunktion gibt eine Zahl zwischen 0 und 1 zurück. Um die Wahrscheinlichkeit zu berechnen, muss gewährleistet werden, dass die Summe  $c$  ist das Kontextwort und  $c$  ist nicht das Kontextwort eine 1 ergeben [20, S. 112].

$$P(-|t, c) = 1 - P(+|t, c) = \frac{e^{-t \cdot c}}{1 + e^{-t \cdot c}} \quad (3.2)$$

Skip-Gramm macht die starke, aber sehr nützliche vereinfachende Annahme, dass alle Kontextwörter unabhängig sind, so dass ihre Wahrscheinlichkeiten multipliziert werden können:

$$P(+|t, c_{1:k}) = \prod_{i=1}^k \frac{1}{1 + e^{-t \cdot c_i}} \quad (3.3)$$

$$\log P(+|t, c_{1:k}) = \sum_{i=1}^k \log \frac{1}{1 + e^{-t \cdot c_i}}. \quad (3.4)$$

Skip-Gramm trainiert einen probabilistischen Klassifikator, der einem Zielwort und seinem Kontextfenster eine Wahrscheinlichkeit zuweist, die darauf basiert, wie ähnlich dieses Kontextfenster dem Zielwort ist. Die Wahrscheinlichkeit basiert auf der Anwendung der logistischen Sigmoidfunktion auf das Punktprodukt der Einbettungen des Zielworts mit jedem Kontextwort [20, S. 113].

Word2vec lernt Einbettungen, indem es mit einem anfänglichen Satz von Einbettungsvektoren beginnt und dann die Einbettung jedes Wortes  $w$  iterativ verschiebt, um mehr den Einbettungen von Wörtern zu ähneln die in der Nähe der Wörter vorkommen. Für das Training eines binären Klassifikators werden negative Beispiele nötig sein. Das Skip-Gram benötigt mehr negative als positive Beispiele für das Training. Das Verhältnis zwischen positiven und negativen Beispielen wird mit einem Parameter  $k$  festgelegt. Für jedes der Trainingseinheiten  $t, c$  werden  $k$  negative Stichproben erstellt, die jeweils aus dem Ziel  $t$  plus einem „noise word“ besteht. Ein „noise word“ ist ein zufälliges Wort aus dem Lexikon, das nicht das Zielwort „t“ sein darf [20, S. 113].



Das Ziel des Lernalgorithmus besteht darin, mittels gegebenen positiven und negativen Beispielen diese Einbettungen so anzupassen, dass die Ähnlichkeit der Ziel- und Kontextwortpaare  $(t, c)$  aus den positiven Beispielen maximiert werden und die Ähnlichkeit der Paare  $(t, c)$  aus den negativen Beispielen minimiert wird. Formell lässt sich dieses mit folgender Formel ausdrücken:

$$\begin{aligned}
 L(\theta) &= \sum_{(t,c) \in +} \log P(+|t, c) + \sum_{(t,c) \in -} \log P(-|t, c) = \\
 &\log \sigma(c \cdot t) + \sum_{i=1}^k \log \sigma(-n_i \cdot t) = \\
 &\log \frac{1}{1 + e^{-c \cdot t}} + \sum_{i=1}^k \log \frac{1}{1 + e^{n_i \cdot t}}.
 \end{aligned} \tag{3.5}$$

Das heißt, wir möchten das Punktprodukt des Wortes mit den tatsächlichen Kontextwörtern maximieren und die Punktprodukte des Wortes mit den  $k$  negativen Nichtnachbarwörtern minimieren. Wir können dann den stochastischen Gradientenabstieg verwenden, um dieses Ziel zu erreichen, indem wir die Parameter (die Einbettungen für jedes Zielwort  $t$  und jedes Kontextwort oder „noise word“  $c$  im Vokabular) iterativ modifizieren [20, S. 114].



## **Kapitel 4**

# **Verwandte Arbeiten**

### **4.1 Einleitung**

Clickbaits besitzen semantische und syntaktische Nuancen, auf die besonders vorgegangen werden muss. Dies geschieht in Form von Analyse und Vorverarbeitung der Titel. In diesem Abschnitt werden Ansätze aus der Literatur verglichen, die diese semantischen und syntaktischen Besonderheiten bearbeiten. In diesem Kapitel werden Ansätze aus der Literatur vorgestellt, die die Aufgabe Clickbait Klassifizierung und die damit entstehenden Unteraufgaben wie das Sammeln von Daten, Einbetten der Wörter und schließlich entwickeln der Deep Learning Modelle haben.

### **4.2 Analyse der Literatur**

Mit der Arbeit aus [24] wurde eine Browser-Erweiterung erstellt, welche Clickbaits erkennen soll. Es wurden umfangreiche Daten sowohl für Clickbaits als auch für Nicht-Clickbait-Kategorien gesammelt. Für die Nicht-Clickbaits-Kategorien wurden 18.513 Wikinews Artikeln gesammelt. Der Vorteil dieser Artikel ist, dass diese von einer Community erstellt werden und jeder Nachrichtenartikel vor der Veröffentlichung von der Community geprüft werden. Es gibt Stilrichtlinien, die eingehalten werden müssen. Um Clickbaits zu finden, haben die Autoren manuell aus Seiten wie „Buzzfeed“ oder „Upworthy“ ca. 8000 Titel gecrawlt. Um falsche Negative zu vermeiden (d. h. die Artikel in diesen Bereichen, bei denen es sich nicht um Clickbaits handelt), wurden sechs Freiwillige rekrutiert um die Überschriften zu labeln. Schließlich wurden 7500 Titel zu jeder der beiden Kategorien zugefügt.

Laut [24] sind die herkömmlichen Nicht-Clickbait Schlagzeilen kürzer als Clickbait Schlagzeilen. Traditionelle Schlagzeilen enthalten in der Regel meistens Wörter, die sich auf bestimmte Personen und Orte beziehen, während die Funktionswörter den Lesern zur Interpretation aus dem Kontext überlassen bleiben. Es wird hier als Beispiel gegeben „Visa-Deal oder kein Migranten-Deal, Türkei warnt EU“. Hier sind die meisten Wörter Inhaltswörter, die die wichtigsten Erkenntnisse aus der Geschichte zusammenfassen, und es gibt nur sehr wenige Verbindungsfunktionswörter zwischen den Inhaltswörtern. Auf der anderen Seite sind Clickbait Schlagzeilen länger. Die Sätze, enthalten sowohl Inhalts- als auch Funktionswörter. Ein Beispiel für solche Schlagzeilen ist „Ein 22-Jähriger, dessen Ehemann und Baby von einem betrunkenen Fahrer getötet wurden, hat ein Facebook-Plädoyer veröffentlicht“. Obwohl die Anzahl der Wörter in Clickbait-Schlagzeilen höher ist, ist die durchschnittliche Wortlänge kürzer. Es werden häufig Wörter verwendet wie „Sie werden“, „Sie sind“. Im Durchschnitt haben die Wörter bei den Clickbaits längere Abhängigkeiten als Nicht-Clickbaits. Der Hauptgrund ist die Existenz komplexerer Phrasensätze im Vergleich zu Schlagzeilen ohne Clickbait. Es ist außerdem zu sehen, dass in Clickbait-Schlagzeilen Stoppwörter häufiger verwendet werden. Clickbait Überschriften verwenden häufig Determinantien wie „ihre“, „meine“, die auf bestimmte Personen oder Dinge im Artikel verweisen. Die Verwendung Wörter dient in erster Linie dazu, den Benutzer neugierig auf das Objekt zu machen, auf das verwiesen wird, und ihn zu überzeugen, den Artikel weiter zu verfolgen. Um Daten zu erfassen, können auch Soziale Medien wie Twitter herangezogen werden, wie im Beispiel von [25].

Um lexikalischer und semantische und orthografische und morphologische Merkmale zu erfassen, benutzen die Autoren aus [26] Worteinbettungen und Zeicheneinbettungen, anstatt übermäßig Feature Selection auszuüben. Um Informationen außerhalb einzelner oder fester Wortfenster zu erfassen, untersuchten die Autoren dabei verschiedene RNN-Architekturen (Recurrent Neural Network) wie LSTM (Long Short Term Memory), GRU (Gated Recurrent Units) und Standard-RNNs. Diese sind Wiederkehrende neuronale Netzwerkmodelle, die für sequentielle Daten wie Sprache und Text gut modelliert werden können.

Die Arbeit von [27] schlägt ein Modell vor, welches CNNs benutzt. CNNs werden für verschiedene Deep-Learning-Aufgaben verwendet. Es wurde nur eine Faltungsschicht in das CNN-Modell eingebaut. Die erste Schicht wird für das Einbetten der Wörter in Vektoren verwendet. Dabei wurden 2 verschiedene Worteinbettungen





# **Abkürzungsverzeichnis**





# **Tabellenverzeichnis**



# Abbildungsverzeichnis

2.1	Das mehrschichtige Perzeptron . . . . .	6
2.2	Darstellung der Sigmoid-Aktivierungsfunktion . . . . .	8
2.3	Darstellung der Tanh-Aktivierungsfunktion . . . . .	9
2.4	Darstellung der ReLu-Aktivierungsfunktion . . . . .	10
2.5	Der Gradientenabstieg . . . . .	11
2.6	Einfluss der Lernrate auf den Verlust . . . . .	14
2.7	Vergleich der Unteranpassung mit der Überanpassung . . . . .	15
2.8	Basis-Netzwerks und Ensemble im Vergleich . . . . .	16
2.9	Darstellung der Kreuzentropie am Beispiel eines Neurons . . . . .	20
2.10	Vergleich eines NN mit einem CNN . . . . .	21
2.11	Die Faltung in einem CNN . . . . .	22
2.12	Max-Pooling . . . . .	24
2.13	CNN in der Textverarbeitung . . . . .	26
3.1	One-Hot-Codierung als Eingabematrix . . . . .	28
3.2	Wortembeddings erzeugen Analogien zwischen Wörtern . . . . .	29
3.3	Vergleich zwischen CBOW und Skip-Gram Architektur . . . . .	31
4.1	Clustering von Überschriften mit t-SNE . . . . .	37



# Listings



# Literatur

- [1] F Rosenblatt, „THE PERCEPTRON: A PROBABILISTIC MODEL FOR INFORMATION STORAGE AND ORGANIZATION IN THE BRAIN 1“, Techn. Ber. 6, S. 19–27.
- [2] Paul J. Werbos, „Backpropagation Through Time: What It Does and How to Do It“, *Proceedings of the IEEE*, Jg. 78, Nr. 10, S. 1550–1560, 1990. DOI: 10.1109/5.58337.
- [3] Geoffrey E Hinton und Simon Osindero, „A Fast Learning Algorithm for Deep Belief Nets Yee-Whye Teh“, Techn. Ber.
- [4] Jürgen Schmidhuber, „Deep Learning in Neural Networks: An Overview“, Techn. Ber., 2014. arXiv: 1404.7828v4. Adresse: <http://www.idsia.ch/%CB%9Cjuergen/DeepLearning8Oct2014.tex>CompleteBIBTEXfile.
- [5] David E. Rumelhart, Geoffrey E. Hinton und Ronald J. Williams, „Learning representations by back-propagating errors“, *Nature*, Jg. 323, Nr. 6088, 1986. DOI: 10.1038/323533a0.
- [6] Suzana Herculano-Houzel, *The human brain in numbers: A linearly scaled-up primate brain*, 2009. DOI: 10.3389/neuro.09.031.2009.
- [7] MA Nielsen, „Neural networks and deep learning“, 2015.
- [8] Michael Taylor, *The Math of Neural Networks*. 2017.
- [9] Francois Chollet, *Deep learning with Python*. 2017. DOI: 10.23919/ICIF.2018.8455530.
- [10] Antonio Guili; Amita Kapoor; Sujit Pal, *Deep Learning with TensorFlow 2 and Keras: Regression, ConvNets, GANs, RNNs, NLP, and More with TensorFlow 2 and the Keras API*. 2019.
- [11] Aaron Courville Ian Goodfellow, Yoshua Bengio, *Deep Learning*. 2016.

- [12] Josh Patterson und Adam Gibson, *Deep Learning a Practitioner's Approach*, 7553. 2019, Bd. 29, S. 1–73.
- [13] Sebastian Ruder, „An overview of gradient descent optimization algorithms“, Sep. 2016. arXiv: 1609.04747. Adresse: <http://arxiv.org/abs/1609.04747>.
- [14] Stanford University Course cs231n, „CS231n Convolutional Neural Networks for Visual Recognition“, *Stanford University Course cs231n*, S. 30, 2018. Adresse: <https://cs231n.github.io/neural-networks-3/%20http://cs231n.github.io/convolutional-networks/%7B%5C%%7D0Ahttp://cs231n.github.io/neural-networks-3/>.
- [15] Nitish Srivastava, Geoffrey Hinton, Alex Krizhevsky und Ruslan Salakhutdinov, „Dropout: A Simple Way to Prevent Neural Networks from Overfitting“, *Techn. Ber.*, 2014, S. 1929–1958.
- [16] Charu C. Aggarwal, *Neural Networks and Deep Learning*. Springer International Publishing, 2018. DOI: 10.1007/978-3-319-94463-0.
- [17] Stanford University Course cs231n, „CS231n Convolutional Neural Networks for Visual Recognition“, *Stanford University Course cs231n*, S. 30, 2018. Adresse: <https://cs231n.github.io/convolutional-networks/>.
- [18] Ye Zhang und Byron C Wallace, „A Sensitivity Analysis of (and Practitioners' Guide to) Convolutional Neural Networks for Sentence Classification“, *Techn. Ber.* arXiv: 1510.03820v4. Adresse: <http://nlp.stanford.edu/projects/>.
- [19] Rohit Francois Chaubard und Richard Socher Mundra, *Understanding Convolutional Neural Networks for NLP – WildML*. Adresse: <http://www.wildml.com/2015/11/understanding-convolutional-neural-networks-for-nlp/> (besucht am 15. 12. 2020).
- [20] Daniel Jurafsky und James H Martin, „Speech and Language Processing An Introduction to Natural Language Processing, Computational Linguistics, and Speech Recognition Third Edition draft“, *Techn. Ber.*
- [21] *Embeddings: Translating to a Lower-Dimensional Space*. Adresse: <https://developers.google.com/machine-learning/crash-course/embeddings/translating-to-a-lower-dimensional-space> (besucht am 15. 12. 2020).



- 
- [22] Tomas Mikolov, Kai Chen, Greg Corrado und Jeffrey Dean, „Distributed Representations of Words and Phrases and their Compositionality“, Techn. Ber., 2013. arXiv: 1310.4546v1.
- [23] ———, „Efficient Estimation of Word Representations in Vector Space“, Techn. Ber. arXiv: 1301.3781v3. Adresse: <http://ronan.collobert.com/senna/>.
- [24] Abhijnan Chakraborty, Bhargavi Paranjape, Sourya Kakarla und Niloy Ganguly, „Stop Clickbait: Detecting and Preventing Clickbaits in Online News Media“, Techn. Ber. arXiv: 1610.09786v1.
- [25] Martin Potthast, Tim Gollub, Matthias Hagen und Benno Stein, „The Clickbait Challenge 2017: Towards a Regression Model for Clickbait Strength“, Techn. Ber. arXiv: 1812.10847v1. Adresse: <https://clickbait-challenge.org>.
- [26] Ankesh Anand, Tanmoy Chakraborty und Noseong Park, „We used Neural Networks to Detect Clickbaits: You won’t believe what happened Next!“, Techn. Ber., 2019. arXiv: 1612.01340v2.
- [27] Amol Agrawal, „Clickbait detection using deep learning“, *Proceedings on 2016 2nd International Conference on Next Generation Computing Technologies, NGCT 2016*, Nr. October, S. 268–272, 2017. DOI: 10.1109/NGCT.2016.7877426.
- [28] Abinash Pujahari und Dilip Singh Sisodia, „Clickbait Detection using Multiple Categorization Techniques“, Techn. Ber. Adresse: [www.clickbait-challenge.org](http://www.clickbait-challenge.org).
- [29] Laurens Van Der Maaten und Geoffrey Hinton, „Visualizing Data using t-SNE“, Techn. Ber., 2008, S. 2579–2605.
- [30] Sarjak Chawda, Aditi Patil, Abhishek Singh und Ashwini Save, „A Novel Approach for Clickbait Detection“, in *2019 3rd International Conference on Trends in Electronics and Informatics (ICOEI)*, IEEE, 2019, S. 1318–1321.
- [31] Savvas Zannettou, Sotirios Chatzis, Kostantinos Papadamou und Michael Sirivianos, „The good, the bad and the bait: Detecting and characterizing clickbait on youtube“, *Proceedings - 2018 IEEE Symposium on Security and Privacy Workshops, SPW 2018*, S. 63–69, 2018. DOI: 10.1109/SPW.2018.00018.
- [32] Vaibhav Kumar, Dhruv Khattar, Siddhartha Gairola, Yash Kumar Lal und Vasudeva Varma, „Identifying Clickbait: A Multi-Strategy Approach Using Neural Networks \* Identifying Clickbait: A Multi-Strategy Approach

- Using“, DOI: 10.1145/3209978.3210144. Adresse:  
<https://doi.org/10.1145/3209978.3210144>.
- [33] Philippe Thomas, „Clickbait Identification using Neural Networks The Whitebait Clickbait Detector at the Clickbait Challenge 2017“, Techn. Ber. arXiv: 1710.08721v1.
- [34] Feng Liao, Hankz Hankui Zhuo, Xiaoling Huang und Yu Zhang, „Federated Hierarchical Hybrid Networks for Clickbait Detection“, Techn. Ber. arXiv: 1906.00638v1.
- [35] Maria Glenski, Ellyn Ayton, Dustin Arendt und Svitlana Volkova, „Fishing for Clickbaits in Social Images and Texts with Linguistically-Infused Neural Network Models The Pineapplefish Clickbait Detector at the Clickbait Challenge 2017“, Techn. Ber. arXiv: 1710.06390v1. Adresse:  
<http://www.clickbait-challenge.org/>.
- [36] Prakhar Biyani, Kostas Tsioutsoulouklis und John Blackmer, „Detecting Clickbaits in News Streams Using Article Informality“, *Thirtieth AAAI Conference on Artificial Intelligence*, S. 94–100, 2016.